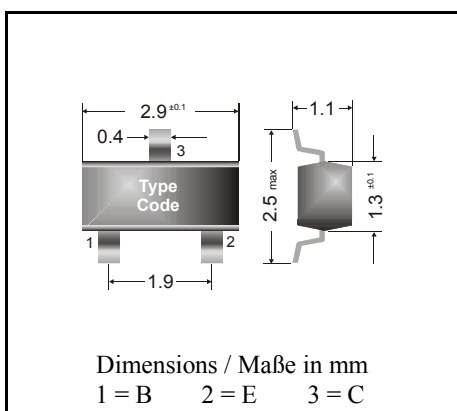


NPN
www.DataSheet4U.com

Surface mount Si-Epitaxial PlanarTransistors

Si-Epitaxial PlanarTransistoren für die Oberflächenmontage

NPN



Power dissipation – Verlustleistung	250 mW
Plastic case Kunststoffgehäuse	SOT-23 (TO-236)
Weight approx. – Gewicht ca.	0.01 g
Plastic material has UL classification 94V-0 Gehäusematerial UL94V-0 klassifiziert	
Standard packaging taped and reeled Standard Lieferform gegurtet auf Rolle	

Maximum ratings ($T_A = 25^\circ\text{C}$)**Grenzwerte ($T_A = 25^\circ\text{C}$)**

			BCF 81
Collector-Emitter-voltage B open	V_{CE0}	45 V	
Collector-Base-voltage E open	V_{CB0}	50 V	
Emitter-Base-voltage C open	V_{EB0}	5 V	
Power dissipation – Verlustleistung	P_{tot}	250 mW ¹⁾	
Collector current – Kollektorstrom (DC)	I_C	100 mA	
Peak Collector current – Kollektor-Spitzenstrom	I_{CM}	200 mA	
Peak Base current – Basis-Spitzenstrom	I_{BM}	100 mA	
Junction temperature – Sperrsichttemperatur	T_j	150°C	
Storage temperature – Lagerungstemperatur	T_S	- 65...+ 150°C	

Characteristics ($T_j = 25^\circ\text{C}$)**Kennwerte ($T_j = 25^\circ\text{C}$)**

	Min.	Typ.	Max.
Collector-Base cutoff current – Kollektorreststrom $I_E = 0, V_{CB} = 20 \text{ V}$	I_{CB0}	–	100 nA
$I_E = 0, V_{CB} = 20 \text{ V}, T_j = 100^\circ\text{C}$	I_{CB0}	–	10 μA
Emitter-Base cutoff current – Emitterreststrom $I_C = 0, V_{EB} = 5 \text{ V}$	I_{EB0}	–	100 nA
DC current gain – Kollektor-Basis-Stromverhältnis ²⁾ $V_{CE} = 5 \text{ V}, I_C = 2 \text{ mA}$	h_{FE}	420	800

¹⁾ Mounted on P.C. board with 3 mm² copper pad at each terminalMontage auf Leiterplatte mit 3 mm² Kupferbelag (Lötpad) an jedem Anschluß²⁾ Tested with pulses $t_p = 300 \mu\text{s}$, duty cycle $\leq 2\%$ – Gemessen mit Impulsen $t_p = 300 \mu\text{s}$, Schaltverhältnis $\leq 2\%$

Characteristics ($T_j = 25^\circ\text{C}$)Kennwerte ($T_j = 25^\circ\text{C}$)

www.DataSheet4U.com

		Min.	Typ.	Max.
Collector saturation volt. – Kollektor-Sättigungsspg. ¹⁾				
$I_C = 10 \text{ mA}, I_B = 0.5 \text{ mA}$	V_{CESat}	–	120 mV	250 mV
$I_C = 50 \text{ mA}, I_B = 5 \text{ mA}$	V_{CESat}	–	210 mV	–
Base saturation voltage – Basis-Sättigungsspannung ¹⁾				
$I_C = 10 \text{ mA}, I_B = 0.5 \text{ mA}$	V_{BESat}	–	750 mV	–
$I_C = 50 \text{ mA}, I_B = 2.5 \text{ mA}$	V_{BESat}	–	850 mV	–
Base-Emitter voltage – Basis-Emitter-Spannung ¹⁾				
$V_{CE} = 5 \text{ V}, I_C = 2 \text{ mA}$	V_{BEon}	550 mV	–	700 mV
Gain-Bandwidth Product – Transitfrequenz				
$V_{CE} = 5 \text{ V}, I_C = 10 \text{ mA}, f = 100 \text{ MHz}$	f_T	100 MHz	–	–
Collector-Base Capacitance – Kollektor-Basis-Kapazität				
$V_{CB} = 10 \text{ V}, I_E = i_e = 0, f = 1 \text{ MHz}$	C_{CB0}	–	2.5 pF	–
Noise figure – Rauschzahl				
$V_{CE} = 5 \text{ V}, I_C = 200 \mu\text{A}, R_G = 2 \text{ k}\Omega, f = 1 \text{ kHz}, \Delta f = 200 \text{ Hz}$	F	–	1.2 dB	4 dB
Thermal resistance junction to ambient air Wärmewiderstand Sperrsicht – umgebende Luft		R_{thA}		420 K/W ²⁾

Marking – Stempelung

BCF 81 = K9

¹⁾ Tested with pulses $t_p = 300 \mu\text{s}$, duty cycle $\leq 2\%$ – Gemessen mit Impulsen $t_p = 300 \mu\text{s}$, Schaltverhältnis $\leq 2\%$ ²⁾ Mounted on P.C. board with 3 mm^2 copper pad at each terminalMontage auf Leiterplatte mit 3 mm^2 Kupferbelag (Lötpad) an jedem Anschluß